

А.С. ВДОВИЧ,<sup>1</sup> І.Р. ЗАЧЕК,<sup>2</sup> Р.Р. ЛЕВИЦЬКИЙ<sup>1</sup><sup>1</sup> Інститут фізики конденсованих систем НАН України  
(Вул. Свінціцького, 1, Львів 79011)<sup>2</sup> Національний університет "Львівська політехніка"  
(Вул. Бандери, 12, Львів 79013; e-mail: zachek\_i@ukr.net)**ВПЛИВ НАПРУГ  $\sigma_5$ ,  $\sigma_6$  І ЕЛЕКТРИЧНОГО ПОЛЯ  $E_1$  НА ТЕРМОДИНАМІЧНІ ХАРАКТЕРИСТИКИ СЕГНЕТОАКТИВНИХ МАТЕРІАЛІВ GPI**

УДК 539

Для дослідження ефектів, що виникають під дією зовнішніх зсувних напруг  $\sigma_5$ ,  $\sigma_6$  і електричного поля  $E_1$ , використано модифіковану модель кристала GPI шляхом врахування п'єзоелектричного зв'язку структурних елементів, які впорядковуються, з деформаціями  $\varepsilon_j$ . В наближенні двочастинкового кластера розраховано вектори поляризації та компоненти тензора статичної діелектричної проникності механічно затиснутого кристала, їх п'єзоелектричні та теплові характеристики. Досліджено одночасну дію напруги  $\sigma_5$  і поля  $E_1$ , а також напруги  $\sigma_6$  і поля  $E_1$  на фазовий перехід та фізичні характеристики кристала.

**Ключові слова:** сегнетоелектрики, фазовий перехід, діелектрична проникність, п'єзомодулі, зсувна напруга.

**1. Вступ**

Вивчення ефектів, які виникають при дії механічних напруг і зовнішнього електричного поля, є однією з актуальних проблем фізики сегнетоактивних сполук, зокрема для кристала фосфіту гліцину (glicinium phosphite – GPI), що належить до сегнетоактивних матеріалів з водневими зв'язками [1].

Експериментальне дослідження впливу поперечного електричного поля  $E_1$  на діелектричну проникність  $\varepsilon_{33}$  кристала GPI виконане авторами робіт [2, 3]. Було показано, що під впливом поля  $E_1$  має місце пониження температури сегнетоелектричного фазового переходу.

Модель деформованого кристала GPI на основі протонної моделі [3] було створено в роботі [5], яка враховує п'єзоелектричний зв'язок протонної і ґраткової підсистем. На основі цієї моделі в роботі [6] було досліджено вплив поперечних електричних полів  $E_1$  і  $E_3$  на діелектричні і п'єзоелектричні властивості GPI. Було кількісно правильно описано згадані вище експериментальні дані [3] для температурної залежності  $\varepsilon_{33}$  за наявності поля  $E_3$ . Було виявлено, що вплив поля  $E_1$  якісно подібний до впливу поля  $E_3$ , але на порядок слабший.

В роботі [7] модифіковано модель GPI [5] на випадок прикладання зсувних напруг  $\sigma_4$ ,  $\sigma_5$  і  $\sigma_6$  до кристала GPI при відсутності електричного поля. Було отримано, що під впливом зсувних напруг  $\sigma_4$  або  $\sigma_6$  в сегнетофазі виникають компоненти спонтанної поляризації вздовж осей  $OX$  і  $OZ$ , а поперечні проникності  $\varepsilon_{11}$  і  $\varepsilon_{33}$  прямують до безмежності в точці  $T_c$ . При цьому вплив напруги  $\sigma_4$  якісно подібний до впливу  $\sigma_6$ .

В даній роботі на основі запропонованої моделі деформованого кристала GPI, яка є модифікацією моделі [4], досліджено спільну дію електричного поля  $E_1$  і напруг  $\sigma_5$  і  $\sigma_6$  на фазовий перехід, термодинамічні та статичні діелектричні характеристики цього типу кристалів.

**2. Гамільтоніан моделі**

Розглянемо систему протонів у GPI, що рухаються на  $O-H \dots O$  зв'язках, що утворюють зигзагоподібні ланцюги вздовж  $c$ -осі кристала. Припишемо протонам на зв'язках дипольні моменти  $\mathbf{d}_{qf}$  ( $f = 1, \dots, 4$ ). У сегнетоелектричній фазі дипольні моменти взаємно компенсуються ( $\mathbf{d}_{q1}$  з  $\mathbf{d}_{q3}$ ,  $\mathbf{d}_{q2}$  з  $\mathbf{d}_{q4}$ ) у напрямках  $Z$  та  $X$ , і одночасно додаються у напрямку  $Y$ , породжуючи спонтанну поляризацію. Вектори  $\mathbf{d}_{qf}$  орієнтовані під певними кутами до кристалографічних осей і мають поздовжню

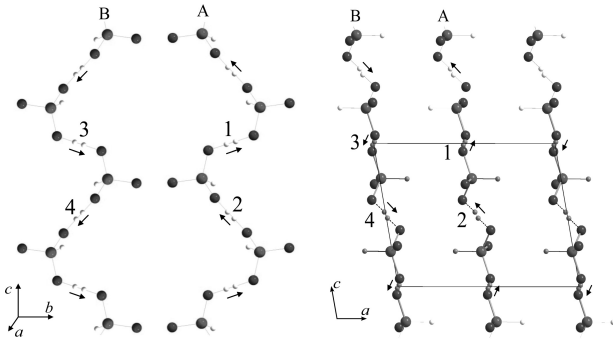


Рис. 1. Орієнтації векторів  $\mathbf{d}_{qf}$  у примітивній комірці  $R_s$  у сегнетоелектричній фазі

і поперечну компоненти по відношенню до  $b$ -осі (рис. 1).

Гамільтоніан протонної системи GPI складається із “затравної” і псевдоспінової частин. “Затравна” енергія  $U_{\text{seed}}$  відповідає ґратці важких іонів і явно не залежить від конфігурації протонної підсистеми. Псевдоспінова частина враховує короткосяжні  $\hat{H}_{\text{short}}$  і далекосяжні  $\hat{H}_{\text{MF}}$  взаємодії протонів поблизу тетраедрів  $\text{HPO}_3$ , а також ефективну взаємодію з електричними полями  $E_1$ ,  $E_2$  і  $E_3$ . Отже,

$$\hat{H} = N U_{\text{seed}} + \hat{H}_{\text{short}} + \hat{H}_{\text{MF}} + \hat{H}_E, \quad (1)$$

де  $N$  – загальна кількість примітивних комірок ґратки Браве.

$U_{\text{seed}}$  – затравна енергія, яка включає в себе пружну, п’єзоелектричну і діелектричну частини, що виражаються через електричні поля  $E_i$  ( $i = 1, 2, 3$ ) та деформації  $\varepsilon_j$  ( $j = 1, 2, 3, 4, 5, 6$ ). Параметри  $c_{ij}^{E0}(T)$ ,  $e_{ij}^0$ ,  $\chi_{ij}^{\varepsilon 0}$  – т.зв. затравні пружні сталі коефіцієнти п’єзоелектричної напруги та діелектричні сприйнятливості,  $v$  – об’єм примітивної комірки:

$$\begin{aligned} U_{\text{seed}} = v & \left( \frac{1}{2} \sum_{i,i'=1}^3 c_{ii'}^{E0}(T) \varepsilon_i \varepsilon_{i'} + \sum_{i=1}^3 c_{i5}^{E0}(T) \varepsilon_i \varepsilon_5 + \right. \\ & + \frac{1}{2} c_{44}^{E0}(T) \varepsilon_4^2 + \frac{1}{2} c_{66}^{E0}(T) \varepsilon_6^2 + c_{46}^{E0}(T) \varepsilon_4 \varepsilon_6 - \\ & - \sum_{i=1}^3 e_{2i}^0 \varepsilon_i E_2 - e_{25}^0 \varepsilon_5 E_2 - e_{14}^0 \varepsilon_4 E_1 - \\ & - e_{16}^0 \varepsilon_6 E_1 - e_{34}^0 \varepsilon_4 E_3 - e_{36}^0 \varepsilon_6 E_3 - \\ & \left. - \frac{1}{2} \chi_{11}^{\varepsilon 0} E_1^2 - \frac{1}{2} \chi_{22}^{\varepsilon 0} E_2^2 - \frac{1}{2} \chi_{33}^{\varepsilon 0} E_3^2 - \chi_{31}^{\varepsilon 0} E_3 E_1 \right). \quad (2) \end{aligned}$$

$$\begin{aligned} \hat{H}_{\text{short}} = -2 \sum_{qq'} & \left( w_1 \frac{\sigma_{q1}}{2} \frac{\sigma_{q2}}{2} + w_2 \frac{\sigma_{q3}}{2} \frac{\sigma_{q4}}{2} \right) \times \\ & \times \left( \delta_{\mathbf{R}_q \mathbf{R}_{q'}} + \delta_{\mathbf{R}_q + \mathbf{R}_c, \mathbf{R}_{q'}} \right). \quad (3) \end{aligned}$$

У (3)  $\sigma_{qf}$  –  $z$ -компонента оператора псевдоспіна, який знаходиться в  $q$ -й комірці на  $f$ -му зв’язку ( $f = 1, 2, 3, 4$ ). Перший символ Кронекера відповідає взаємодії протонів у ланцюжках поблизу тетраедрів  $\text{HPO}_3$  типу “Т”, а другий – поблизу тетраедрів типу “П”,  $\mathbf{R}_c$  – радіус-вектор ґратки вздовж  $c$ -осі. Внески у конфігураційну енергію від взаємодії між протонами навколо тетраедрів різних типів, як і середні значення псевдоспінів  $\langle \sigma_{qf} \rangle$ , що відносяться до тетраедрів різних типів, є однаковими. Величини  $w_1, w_2$ , які описують короткосяжні взаємодії протонів у ланцюжках, розкладаємо в ряд за деформаціями  $\varepsilon_j$ , обмежуючись лінійними доданками:

$$w_{1,2} = w^0 + \sum_l \delta_l \varepsilon_l \pm \delta_4 \varepsilon_4 \pm \delta_6 \varepsilon_6 \quad (l = 1, 2, 3, 5). \quad (4)$$

Гамільтоніан середнього поля  $\hat{H}_{\text{MF}}$  за далекосяжними диполь-дипольними взаємодіями та непрямыми (через коливання ґратки) міжпротонними взаємодіями  $\hat{H}_{\text{MF}}$ , враховуючи розклад фур’є-образів констант взаємодій  $J_{ff'} = \sum_{qq'} J_{ff'}(qq')$  при  $\mathbf{q} = 0$ , у ряд за деформаціями  $\varepsilon_j$ , обмежуючись лінійними членами розкладу:

$$\begin{aligned} J_{11}^{33} &= J_{11}^0 + \sum_l \psi_{11l} \varepsilon_l \pm \psi_{114} \varepsilon_4 \pm \psi_{116} \varepsilon_6, \\ J_{13}^{24} &= J_{24}^0 + \sum_l \psi_{13l} \varepsilon_l + \psi_{134} \varepsilon_4 + \psi_{136} \varepsilon_6, \\ J_{12}^{34} &= J_{12}^0 + \sum_l \psi_{12l} \varepsilon_l \pm \psi_{124} \varepsilon_4 \pm \psi_{126} \varepsilon_6, \\ J_{14}^{23} &= J_{14}^0 + \sum_l \psi_{14l} \varepsilon_l \pm \psi_{144} \varepsilon_4 \pm \psi_{146} \varepsilon_6, \\ J_{22}^{44} &= J_{22}^0 + \sum_l \psi_{22l} \varepsilon_l \pm \psi_{224} \varepsilon_4 \pm \psi_{226} \varepsilon_6, \end{aligned}$$

отримуємо у такому вигляді:

$$\hat{H}_{\text{MF}} = N H^0 + \hat{H}_s, \quad (5)$$

$$\begin{aligned} \text{де} \\ H^0 &= \frac{1}{8} J_{11} (\eta_1^2 + \eta_3^2) + \frac{1}{8} J_{22} (\eta_2^2 + \eta_4^2) + \end{aligned}$$

$$+ \frac{1}{4} J_{13} \eta_1 \eta + J_{24} \eta_2 \eta_4 + \frac{1}{4} J_{12} (\eta_1 \eta_2 + \eta_3 \eta_4) + \frac{1}{4} J_{14} (\eta_1 \eta_4 + \eta_2 \eta_3) \quad (6)$$

$$\hat{H}_s = - \sum_q \left( \mathcal{H}_1 \frac{\sigma_{q1}}{2} + \mathcal{H}_2 \frac{\sigma_{q2}}{2} + \mathcal{H}_3 \frac{\sigma_{q3}}{2} + \mathcal{H}_4 \frac{\sigma_{q4}}{2} \right). \quad (7)$$

У (7) використані такі позначення:

$$\mathcal{H}_f = \sum_{f'=1}^4 \frac{1}{2} J_{ff'} \eta_{f'} \quad (f = 1-4).$$

Четвертий доданок в (1)  $\hat{H}_E$  описує взаємодію псевдоспінів з електричними полями:

$$\hat{H}_E = \sum_{f=1}^4 H_{Ef} \frac{\sigma_{qf}}{2}, \quad (8)$$

$$H_{E1,3} = \pm \mu_{13}^x E_1 + \mu_{13}^y E_2 \pm \mu_{13}^z E_3,$$

$$H_{E2,4} = \mp \mu_{24}^x E_1 - \mu_{24}^y E_2 \pm \mu_{24}^z E_3,$$

де  $\mu_{13}^{x,y,z} = \mu_1^{x,y,z} = \mu_3^{x,y,z}$ ,  $\mu_{24}^{x,y,z} = \mu_2^{x,y,z} = \mu_4^{x,y,z}$  – ефективні дипольні моменти в розрахунку на один псевдоспін.

При розрахунку термодинамічних і динамічних характеристик сегнетоактивних сполук типу GPI використаємо наближення двочастинкового кластера (НДК). В цьому наближенні термодинамічний потенціал GPI при прикладанні зсувних напруг  $\sigma_{5,6}$  має такий вигляд:

$$G = NU_{\text{seed}} + NH^0 - Nv \sum_{j=5}^6 \sigma_j \varepsilon_j - k_B T \sum_q \left[ 2 \ln \text{Sp} e^{-\beta \hat{H}_q^{(2)}} - \sum_{f=1}^4 \ln \text{Sp} e^{-\beta \hat{H}_{qf}^{(1)}} \right], \quad (9)$$

де  $\hat{H}_q^{(2)}$ ,  $\hat{H}_{qf}^{(1)}$  – двочастинкові і одностинкові гамільтоніани, що задаються такими виразами:

$$\hat{H}_q^{(2)} = -2 \left( w_1 \frac{\sigma_{q1}}{2} \frac{\sigma_{q2}}{2} + w_2 \frac{\sigma_{q3}}{2} \frac{\sigma_{q4}}{2} \right) - \sum_{f=1}^4 \frac{y_f}{\beta} \frac{\sigma_{qf}}{2}, \quad (10)$$

$$\hat{H}_{qf}^{(1)} = -\frac{\bar{y}_f}{\beta} \frac{\sigma_{qf}}{2}, \quad (11)$$

де використані такі позначення:

$$y_f = \beta (\Delta_1 + \mathcal{H}_f + H_{Ef}), \quad \bar{y}_f = \beta \Delta_f + y_f.$$

Тут  $\Delta_f$  – ефективні поля, створені сусідніми зв'язками поза границями кластера. У кластерному наближенні поля  $\Delta_f$  визначаються з умови самоузгодження:

$$\frac{\text{Sp} \sigma_{qf} e^{-\beta \hat{H}_q^{(2)}}}{\text{Sp} e^{-\beta \hat{H}_q^{(2)}}} = \frac{\text{Sp} \sigma_{qf} e^{-\beta \hat{H}_{qf}^{(1)}}}{\text{Sp} e^{-\beta \hat{H}_{qf}^{(1)}}}. \quad (12)$$

Тоді на основі (12) отримуємо вирази для середніх значень псевдоспіна  $\langle \sigma_{qf} \rangle$  з двочастинковим або одностинковим гамільтоніаном. Виключаючи параметри  $\Delta_f$ , знаходимо такі співвідношення:

$$\eta_{\frac{1}{3}} = \frac{1}{D} \left[ \sinh n_1 \pm \sinh n_2 + a^2 \sinh n_3 \pm \pm a^2 \sinh n_4 + aa_{46} \sinh n_5 + \frac{a}{a_{46}} \sinh n_6 \mp \mp aa_{46} \sinh n_7 \pm \frac{a}{a_{46}} \sinh n_8 \right],$$

$$\eta_{\frac{2}{4}} = \frac{1}{D} \left[ \sinh n_1 \pm \sinh n_2 - a^2 \sinh n_3 \mp \mp a^2 \sinh n_4 \mp aa_{46} \sinh n_5 \pm \frac{a}{a_{46}} \sinh n_6 + + aa_{46} \sinh n_7 + \frac{a}{a_{46}} \sinh n_8 \right],$$

$$D = \cosh n_1 + \cosh n_2 + a^2 \cosh n_3 + + a^2 \cosh n_4 + aa_{46} \cosh n_5 + \frac{a}{a_{46}} \cosh n_6 + + aa_{46} \cosh n_7 + \frac{a}{a_{46}} \cosh n_8,$$

де

$$a = \exp \left[ -\beta \left( w^0 + \sum_{l=1}^3 \delta_l \varepsilon_l \right) \right],$$

$$a_{46} = \exp [-\beta (\delta_4 \varepsilon_4 + \delta_6 \varepsilon_6)],$$

$$n_1 = \frac{1}{2} (y_1 + y_2 + y_3 + y_4),$$

$$n_2 = \frac{1}{2} (y_1 + y_2 - y_3 - y_4),$$

$$n_3 = \frac{1}{2}(y_1 - y_2 + y_3 - y_4),$$

$$n_4 = \frac{1}{2}(y_1 - y_2 - y_3 + y_4),$$

$$n_5 = \frac{1}{2}(y_1 - y_2 + y_3 + y_4),$$

$$n_6 = \frac{1}{2}(y_1 + y_2 + y_3 - y_4),$$

$$n_7 = \frac{1}{2}(-y_1 + y_2 + y_3 + y_4),$$

$$n_8 = \frac{1}{2}(y_1 + y_2 - y_3 + y_4),$$

$$y_f = \frac{1}{2} \ln \frac{1 + \eta_f}{1 - \eta_f} + \frac{\beta}{2} H_f + \frac{\beta}{2} \boldsymbol{\mu}_f \mathbf{E}.$$

### 3. Термодинамічні характеристики GPI

Для отримання діелектричних, п'єзоелектричних і пружних характеристик GPI знайдемо на основі (9) термодинамічний потенціал у розрахунку на одну комірку:

$$g = \frac{G}{N} = U_{\text{seed}} + H^0 - 2 \left( w^0 + \sum_l \delta_l \varepsilon_l \right) + 2k_B T \ln 2 - Nv \sum_{j=5}^6 \sigma_j \varepsilon_j - \frac{1}{2} k_B T \sum_{f=1}^4 \ln (1 - \eta_f^2) - 2k_B T \ln D, \quad l = 1, 2, 3, 5. \quad (13)$$

Упохіднюючи термодинамічний потенціал за полями  $E_i$ , отримуємо вирази для поляризацій  $P_i$

$$P_1 = e_{14}^0 \varepsilon_4 + e_{16}^0 \varepsilon_6 + \chi_{11}^0 E_1 + \frac{1}{2v} [\mu_{13}^x (\eta_1 - \eta_3) - \mu_{24}^x (\eta_2 - \eta_4)], \quad (14)$$

$$P_2 = e_{21}^0 \varepsilon_1 + e_{22}^0 \varepsilon_2 + e_{23}^0 \varepsilon_3 + e_{25}^0 \varepsilon_5 + \chi_{22}^0 E_2 + \frac{1}{2v} [\mu_{13}^y (\eta_1 + \eta_3) - \mu_{24}^y (\eta_2 + \eta_4)], \quad (15)$$

$$P_3 = e_{34}^0 \varepsilon_4 + e_{66}^0 \varepsilon_6 + \chi_{33}^0 E_3 + \frac{1}{2v} [\mu_{13}^z (\eta_1 - \eta_3) + \mu_{24}^z (\eta_2 - \eta_4)]. \quad (16)$$

Статичні ізотермічні діелектричні сприйнятливості GPI вздовж осей для механічно затиснутого кристала мають такий вигляд:

$$\chi_{11}^\varepsilon = \chi_{11}^{\varepsilon 0} + \frac{1}{2v} [\mu_{13}^x (\dot{\eta}_{1E_1} - \dot{\eta}_{3E_1}) - \mu_{24}^x (\dot{\eta}_{2E_1} - \dot{\eta}_{4E_1})], \quad (17)$$

$$\chi_{22}^\varepsilon = \chi_{22}^{\varepsilon 0} + \frac{1}{2v} [\mu_{13}^y (\dot{\eta}_{1E_2} + \dot{\eta}_{3E_2}) - \mu_{24}^y (\dot{\eta}_{2E_2} + \dot{\eta}_{4E_2})], \quad (18)$$

$$\chi_{33}^\varepsilon = \chi_{33}^{\varepsilon 0} + \frac{1}{2v} [\mu_{13}^z (\dot{\eta}_{1E_3} - \dot{\eta}_{3E_3}) + \mu_{24}^z (\dot{\eta}_{2E_3} - \dot{\eta}_{4E_3})]. \quad (19)$$

А  $\eta_{1E}$ ,  $\eta_{2E}$ ,  $\eta_{3E}$ ,  $\eta_{4E}$  є розв'язками такої системи рівнянь:

$$\begin{pmatrix} 2D - \varkappa_{11} & -\varkappa_{12} & -\varkappa_{13} & -\varkappa_{14} \\ -\varkappa_{21} & 2D - \varkappa_{22} & -\varkappa_{23} & -\varkappa_{24} \\ -\varkappa_{31} & -\varkappa_{32} & 2D - \varkappa_{33} & -\varkappa_{34} \\ -\varkappa_{41} & -\varkappa_{42} & -\varkappa_{43} & 2D - \varkappa_{44} \end{pmatrix} \times \begin{pmatrix} \dot{\eta}_{1E_\alpha} \\ \dot{\eta}_{2E_\alpha} \\ \dot{\eta}_{3E_\alpha} \\ \dot{\eta}_{4E_\alpha} \end{pmatrix} = \begin{pmatrix} \varkappa_1^{\chi_\alpha} \\ \varkappa_2^{\chi_\alpha} \\ \varkappa_3^{\chi_\alpha} \\ \varkappa_4^{\chi_\alpha} \end{pmatrix}. \quad (20)$$

Тут використані такі позначення:

$$\begin{aligned} \varkappa_{f1} &= \varkappa_{f11}(\varphi_1^+ + \beta \bar{\nu}_1^+) + \varkappa_{f12}(\beta \nu_2^+ + \beta \bar{\nu}_2^+) + \varkappa_{f13}(\varphi_1^- + \beta \bar{\nu}_1^-) + \varkappa_{f14} \beta(\nu_2^- + \beta \bar{\nu}_2^-); \\ \varkappa_{f2} &= \varkappa_{f12}(\varphi_2^+ + \beta \bar{\nu}_3^+) + \varkappa_{f11}(\beta \nu_2^+ + \beta \bar{\nu}_2^-) + \varkappa_{f14}(\varphi_2^- + \beta \bar{\nu}_3^-) + \varkappa_{f13}(\beta \nu_2^- + \beta \bar{\nu}_2^+), \\ \varkappa_{f3} &= \varkappa_{f11}(\varphi_3^+ - \beta \bar{\nu}_1^-) + \varkappa_{f12}(\beta \nu_2^+ - \beta \bar{\nu}_2^+) - \varkappa_{f13}(\varphi_3^- - \beta \bar{\nu}_1^+) - \varkappa_{f14}(\beta \nu_2^- - \beta \bar{\nu}_2^-), \\ \varkappa_{f4} &= \varkappa_{f12}(\varphi_4^+ - \beta \bar{\nu}_3^-) + \varkappa_{f11}(\beta \nu_2^+ - \beta \bar{\nu}_2^-) - \varkappa_{f14}(\varphi_4^- - \beta \bar{\nu}_3^+) - \varkappa_{f13}(\beta \nu_2^- - \beta \bar{\nu}_2^+), \\ \varkappa_f^{\chi_x} &= \varkappa_{f13} \beta \mu_{13}^x + \varkappa_{f15} \beta \mu_{24}^x, \quad \varkappa_f^{\chi_y} = \varkappa_{f11} \beta \mu_{13}^y + \varkappa_{f12} \beta \mu_{24}^y, \quad \varkappa_f^{\chi_z} = \varkappa_{f13} \beta \mu_{13}^z + \varkappa_{f14} \beta \mu_{24}^z, \\ \varphi_{1,3}^\pm &= \frac{1}{1 - \eta_{1,3}^2} + \beta \nu_1^\pm, \end{aligned}$$

$$\begin{aligned} \varphi_{2,4}^{\pm} &= \frac{1}{1 - \eta_{2,4}^2} + \beta \nu_3^{\pm}, \\ \varphi_{1,3}^{\pm} &= \frac{1}{1 - \eta_{1,3}^2} + \beta \nu_1^{\pm}, \\ \varphi_{2,4}^{\pm} &= \frac{1}{1 - \eta_{2,4}^2} + \beta \nu_3^{\pm}, \\ \nu_l^{\pm} &= \nu_l^{0\pm} + \sum_{i=1}^3 \psi_{li}^{\pm} \varepsilon_i + \psi_{l5}^{\pm} \varepsilon_5, \\ \bar{\nu}_l^{\pm} &= \psi_{l4}^{\pm} \varepsilon_4 + \psi_{l6}^{\pm} \varepsilon_6, \\ \nu_1^{0\pm} &= \frac{1}{4}(J_{11}^0 \pm J_{13}^0), \quad \psi_{1i}^{\pm} = \frac{1}{4}(\psi_{11i} \pm \psi_{13i}), \\ \nu_2^{0\pm} &= \frac{1}{4}(J_{12}^0 \pm J_{14}^0), \quad \psi_{2i}^{\pm} = \frac{1}{4}(\psi_{12i} \pm \psi_{14i}), \\ \nu_3^{0\pm} &= \frac{1}{4}(J_{22}^0 \pm J_{24}^0), \quad \psi_{3i}^{\pm} = \frac{1}{4}(\psi_{22i} \pm \psi_{24i}), \\ \varkappa_{\frac{1}{3}11} &= (l_{1+3}^c + l_{5+6}^c) - \eta_{\frac{1}{3}}(l_{1+3}^s + l_{5+6}^s), \\ \varkappa_{\frac{1}{3}12} &= (l_{1-3}^c \mp l_{7-8}^c) - \eta_{\frac{1}{3}}(l_{1-3}^s + l_{7+8}^s), \\ \varkappa_{\frac{1}{3}13} &= \pm(l_{2+4}^c + l_{7+8}^c) - \eta_{\frac{1}{3}}(l_{2+4}^s - l_{7-8}^s), \\ \varkappa_{\frac{1}{3}14} &= (\pm l_{2-4}^c - l_{5-6}^c) - \eta_{\frac{1}{3}}(l_{2-4}^s - l_{5-6}^s), \\ \varkappa_{\frac{2}{4}11} &= (l_{1-3}^c \mp l_{5-6}^c) - \eta_{\frac{2}{4}}(l_{1+3}^s + l_{5+6}^s), \\ \varkappa_{\frac{2}{4}12} &= (l_{1+3}^c + l_{7+8}^c) - \eta_{\frac{2}{4}}(l_{1-3}^s + l_{7+8}^s), \\ \varkappa_{\frac{2}{4}13} &= (\pm l_{2-4}^c - l_{7-8}^c) - \eta_{\frac{2}{4}}(l_{2+4}^s - l_{7-8}^s), \\ \varkappa_{\frac{2}{4}14} &= (\pm l_{2+4}^c \pm l_{5+6}^c) - \eta_{\frac{2}{4}}(l_{2-4}^s - l_{5-6}^s), \\ \varkappa_{\frac{1}{3}15} &= (\mp l_{2-4}^c + l_{5-6}^c) - \eta_{\frac{1}{3}}(-l_{2-4}^s + l_{5-6}^s), \\ \varkappa_{\frac{2}{4}15} &= (\mp l_{2+4}^c + l_{5+6}^c) + \eta_{\frac{2}{4}}(-l_{2-4}^s + l_{5-6}^s), \\ l_{1\pm 3}^c &= \text{chn}_1 \pm a^2 \text{chn}_3; \quad l_{2\pm 4}^c = \text{chn}_2 \pm a^2 \text{chn}_4; \\ l_{5\pm 6}^c &= aa_{46} \text{chn}_5 \pm \frac{a}{a_{46}} \text{chn}_6; \quad l_{7\pm 8}^c = aa_{46} \text{chn}_7 \pm \frac{a}{a_{46}} \text{chn}_8; \\ l_{1\pm 3}^s &= \text{shn}_1 \pm a^2 \text{shn}_3; \quad l_{2\pm 4}^s = \text{shn}_2 \pm a^2 \text{shn}_4; \\ l_{5\pm 6}^s &= aa_{46} \text{shn}_5 \pm \frac{a}{a_{46}} \text{shn}_6; \quad l_{7\pm 8}^s = aa_{46} \text{shn}_7 \pm \frac{a}{a_{46}} \text{shn}_8. \end{aligned}$$

На основі співвідношень (14)–(16) отримуємо вирази для ізотермічних коефіцієнтів п'єзоелектричних напруг  $e_{1j}$ ,  $e_{2l}$ ,  $e_{3j}$  GPI:

$$e_{1j} = \left( \frac{\partial P_1}{\partial \varepsilon_l} \right)_{E_1} =$$

$$= e_{2j}^0 + \frac{1}{2\nu} [\mu_{13}^x (\dot{\eta}_{1\varepsilon_j} - \dot{\eta}_{3\varepsilon_j}) - \mu_{24}^x (\dot{\eta}_{2\varepsilon_j} - \dot{\eta}_{4\varepsilon_j})], \quad (j = 4, 6), \quad (21)$$

$$e_{2l} = \left( \frac{\partial P_2}{\partial \varepsilon_l} \right)_{E_2} = e_{2l}^0 + \frac{1}{2\nu} [\mu_{13}^y (\dot{\eta}_{1\varepsilon_l} + \dot{\eta}_{3\varepsilon_l}) - \mu_{24}^y (\dot{\eta}_{2\varepsilon_l} + \dot{\eta}_{4\varepsilon_l})], \quad (22)$$

$$e_{3j} = \left( \frac{\partial P_3}{\partial \varepsilon_j} \right)_{E_3} = e_{3j}^0 + \frac{1}{2\nu} [\mu_{13}^z (\dot{\eta}_{1\varepsilon_j} - \dot{\eta}_{3\varepsilon_j}) + \mu_{24}^z (\dot{\eta}_{2\varepsilon_j} - \dot{\eta}_{4\varepsilon_j})], \quad (j = 4, 6). \quad (23)$$

$\dot{\eta}_{1\varepsilon_l}$ ,  $\dot{\eta}_{2\varepsilon_l}$ ,  $\dot{\eta}_{3\varepsilon_l}$ ,  $\dot{\eta}_{4\varepsilon_l}$  є розв'язками такої системи рівнянь:

$$\begin{pmatrix} 2D - \varkappa_{11} & -\varkappa_{12} & -\varkappa_{13} & -\varkappa_{14} \\ -\varkappa_{21} & 2D - \varkappa_{22} & -\varkappa_{23} & -\varkappa_{24} \\ -\varkappa_{31} & -\varkappa_{32} & 2D - \varkappa_{33} & -\varkappa_{34} \\ -\varkappa_{41} & -\varkappa_{42} & -\varkappa_{43} & 2D - \varkappa_{44} \end{pmatrix} \times \begin{pmatrix} \dot{\eta}_{1\varepsilon_l} \\ \dot{\eta}_{2\varepsilon_l} \\ \dot{\eta}_{3\varepsilon_l} \\ \dot{\eta}_{4\varepsilon_l} \end{pmatrix} = \begin{pmatrix} \varkappa_1^{e_l} \\ \varkappa_2^{e_l} \\ \varkappa_3^{e_l} \\ \varkappa_4^{e_l} \end{pmatrix}. \quad (24)$$

Тут використані такі позначення:

$$\begin{aligned} \varkappa_f^{e_l} &= \beta(\psi_{1l}^+ \varkappa_{f11} + \psi_{2l}^+ \varkappa_{f12})(\eta_1 + \eta_3) + \\ &+ \beta(\psi_{2l}^+ \varkappa_{f11} + \psi_{3l}^+ \varkappa_{f12})(\eta_2 + \eta_4) + \\ &+ \beta(\psi_{1l}^- \varkappa_{f13} + \psi_{2l}^- \varkappa_{f14})(\eta_1 - \eta_3) + \\ &+ \beta(\psi_{2l}^- \varkappa_{f13} + \psi_{3l}^- \varkappa_{f14})(\eta_2 - \eta_4) + \\ &+ 2\beta\delta_l(\rho_{f1} + \rho_{f2}), \end{aligned}$$

$$\psi_{1l}^{\pm} = \frac{1}{4}(\psi_{11l} \pm \psi_{13l}), \quad \psi_{2l}^{\pm} = \frac{1}{4}(\psi_{12l} \pm \psi_{14l}),$$

$$\psi_{3l}^{\pm} = \frac{1}{4}(\psi_{22l} \pm \psi_{24l}),$$

$$\rho_{\frac{1}{3}1} = -2(l_{3\pm 4}^s - \eta_{\frac{1}{3}} l_{3+4}^c),$$

$$\rho_{\frac{1}{3}2} = -l_{5+6}^s \pm l_{7-8}^s + \eta_{\frac{1}{3}}(l_{5+6}^c + l_{7+8}^c),$$

$$\rho_{\frac{2}{4}1} = 2(l_{3\pm 4}^s + \eta_{\frac{1}{3}} l_{3+4}^c),$$

$$\rho_{\frac{2}{4}2} = \pm l_{5-6}^s - l_{7+8}^s + \eta_{\frac{1}{3}}(l_{5+6}^c + l_{7+8}^c),$$

$$\begin{aligned}\rho_{\frac{1}{3}j} &= l_{5+6}^s \pm l_{7-8}^s + \eta_{\frac{1}{3}}(l_{5+6}^c - l_{7+8}^c), \\ \rho_{\frac{2}{4}j} &= \mp l_{5-6}^s + l_{7+8}^s + \eta_{\frac{2}{4}}(l_{5+6}^c - l_{7+8}^c), \\ l_{3\pm 4}^s &= a^2 \sinh n_3 \pm a^2 \sinh n_4, \\ l_{3+4}^c &= a^2 \cosh n_3 + a^2 \cosh n_4.\end{aligned}$$

Молярна ентропія протонної підсистеми (тут  $R$  – універсальна газова стала):

$$\begin{aligned}S &= \frac{R}{4} \left\{ -2 \ln 2 + \sum_{f=1}^4 \ln(1 - \eta_f) + 2 \ln D - \right. \\ &- 2 \{ \beta \nu_1^+ (\eta_1 + \eta_3)^2 + \beta \bar{\nu}_1^+ [\eta_1 (\eta_1 + \eta_3) + \\ &+ \eta_3 (\eta_1 - \eta_3)] + 2 \beta \nu_2^+ (\eta_1 + \eta_3) (\eta_2 + \eta_4) + \\ &+ 2 \beta \bar{\nu}_2^+ (\eta_1 - \eta_3) (\eta_2 + \eta_4) + \beta \nu_3^+ (\eta_2 + \eta_4)^2 + \\ &+ \beta \bar{\nu}_3^+ [\eta_2 (\eta_2 + \eta_4) + \eta_4 (\eta_2 - \eta_4)] + \\ &+ \beta \nu_1^- (\eta_1 - \eta_3)^2 + \\ &+ \beta \bar{\nu}_1^- [\eta_1 (\eta_1 - \eta_3) + \eta_3 (\eta_1 + \eta_3)] + \\ &+ 2 \beta \nu_2^- (\eta_1 - \eta_3) (\eta_2 - \eta_4) + \\ &+ 2 \beta \bar{\nu}_2^- (\eta_1 + \eta_3) (\eta_2 - \eta_4) + \beta \nu_3^- (\eta_2 - \eta_4)^2 + \\ &\left. + \beta \bar{\nu}_3^- [\eta_2 (\eta_2 - \eta_4) - \eta_4 (\eta_2 + \eta_4)] \right\} + \frac{4w}{TD} M. \quad (25)\end{aligned}$$

Молярну теплоємність при сталому тиску протонної підсистеми кристала GPI знаходимо диференціюючи етропію (25).

#### 4. Порівняння результатів числових розрахунків з експериментальними даними

Для проведення числових розрахунків залежностей від температури діелектричних та п'єзоелектричних характеристик GPI, які розраховані нижче теоретично, необхідні значення таких мікропараметрів: параметрів короткосяжних взаємодій  $w^0$ ; параметрів далекосяжних взаємодій  $\nu_f^{0\pm}$  ( $f = 1, 2, 3$ ); деформаційних потенціалів  $\delta_i$ ,  $\psi_{fi}^{\pm}$  ( $i = 1, \dots, 6$ ); ефективних дипольних моментів  $\mu_{13}^a$ ;  $\mu_{24}^a$ ;  $\mu_{13}^b$ ;  $\mu_{24}^b$ ;  $\mu_{13}^c$ ;  $\mu_{24}^c$ ; “затравних” діелектричних сприйнятливостей  $\chi_{ij}^{\varepsilon 0}$ ; “затравних” коефіцієнтів п'єзоелектричної напруги  $e_{ij}^0$ ; та пружних сталей  $c_{ij}^{E0}$ .

Для визначення перерахованих нижче мікропараметрів використаємо температурні залежності експериментальних фізичних характеристик GPI, а саме  $P_s(T)$  [8],  $C_p(T)$  [9],  $\varepsilon_{11}^{\sigma}$ ,  $\varepsilon_{33}^{\sigma}$  [1],  $d_{21}$ ,  $d_{23}$  [10].

Об'єм примітивної комірки GPI взято рівним  $v_{0,0} = 0,601 \cdot 10^{-21} \text{ см}^3$ .

Отримані оптимальні значення параметрів далекосяжних взаємодій є рівними:  $\tilde{\nu}_1^{0+} = \tilde{\nu}_2^{0+} = \tilde{\nu}_3^{0+} = 3,065 \text{ К}$ ,  $\tilde{\nu}_1^{0-} = \tilde{\nu}_2^{0-} = \tilde{\nu}_3^{0-} = 0,05 \text{ К}$ , де  $\tilde{\nu}_f^{0\pm} = \nu_f^{0\pm} / k_B$ .

Знайдений параметр короткосяжних взаємодій  $w_0$  кристала GPI рівний  $w_0 / k_B = 800 \text{ К}$ . Оптимальні деформаційні потенціали  $\delta_i$ :  $\delta_1 = 500 \text{ К}$ ,  $\delta_2 = 600 \text{ К}$ ,  $\delta_3 = 500 \text{ К}$ ,  $\delta_4 = 150 \text{ К}$ ,  $\delta_5 = 100 \text{ К}$ ,  $\delta_6 = 150 \text{ К}$ ;  $\delta_i = \delta_i / k_B$  і оптимальні значення  $\psi_{fi}^{\pm}$  є такими:  $\tilde{\psi}_{f1}^+ = 93,6 \text{ К}$ ,  $\tilde{\psi}_{f2}^+ = 252,5 \text{ К}$ ,  $\tilde{\psi}_{f3}^+ = 110,7 \text{ К}$ ,  $\tilde{\psi}_{f5}^+ = 22,7 \text{ К}$ ,  $\tilde{\psi}_{f4}^+ = \tilde{\psi}_{f6}^+ = \tilde{\psi}_{f4}^- = \tilde{\psi}_{f6}^- = 79,5 \text{ К}$ ,  $\tilde{\psi}_{f1}^- = \tilde{\psi}_{f2}^- = \tilde{\psi}_{f3}^- = \tilde{\psi}_{f5}^- = 0 \text{ К}$ , де  $\tilde{\psi}_{fi}^{\pm} = \psi_{fi}^{\pm} / k_B$ .

Ефективні дипольні моменти в парафазі дорівнюють  $\mu_{13} = (0,4, 4,02, 4,3) \cdot 10^{-18} \text{ esu} \cdot \text{см}$ ,  $\mu_{24} = (-2,3, -3,0, 2,2) \cdot 10^{-18} \text{ esu} \cdot \text{см}$ . В сегнетофазі  $y$ -компонента першого дипольного моменту  $\mu_{13}^{y \text{ ferro}} = 3,82 \cdot 10^{-18} \text{ esu} \cdot \text{см}$ .

“Затравні” коефіцієнти п'єзоелектричної напруги  $e_{ij}^0$ , “затравні” діелектричні сприйнятливості  $\chi_{ij}^{\varepsilon 0}$  і “затравні” пружні константи  $c_{ij}^{E0}$  отримані в наступному вигляді:  $e_{ij}^0 = 0,0 \frac{\text{esu}}{\text{см}^2}$ ;  $\chi_{11}^{\varepsilon 0} = 0,1$ ,  $\chi_{22}^{\varepsilon 0} = 0,403$ ,  $\chi_{33}^{\varepsilon 0} = 0,5$ ,  $\chi_{31}^{\varepsilon 0} = 0,0$ ;  $c_{11}^{E0} = 269,1 \text{ кбар}$ ,  $c_{12}^{E0} = 145 \text{ кбар}$ ,  $c_{13}^{E0} = 116,4 \text{ кбар}$ ,  $c_{15}^{E0} = 39,1 \text{ кбар}$ ,  $c_{22}^{E0} = (649,9 - 0,4(T - T_c)) \text{ кбар}$ ,  $c_{23}^{E0} = 203,8 \text{ кбар}$ ,  $c_{25}^{E0} = 56,4 \text{ кбар}$ ,  $c_{33}^{E0} = 244,1 \text{ кбар}$ ,  $c_{35}^{E0} = -28,4 \text{ кбар}$ ,  $c_{55}^{E0} = 85,4 \text{ кбар}$ ,  $c_{44}^{E0} = 153,1 \text{ кбар}$ ,  $c_{46}^{E0} = -11 \text{ кбар}$ ,  $c_{66}^{E0} = 118,8 \text{ кбар}$ .

Розглянемо тепер як змінюються термодинамічні характеристики кристала GPI при одночасному прикладанні зсувних напруг  $\sigma_5, \sigma_6$  і електричного поля  $E_1$ .

Основний механізм впливу зсувних напруг  $\sigma_5$  і  $\sigma_6$  на термодинамічні характеристики кристала GPI зв'язаний із особливістю температурної поведінки параметрів порядку  $\eta_f$  при різних напругах. Напруга  $\sigma_5$  в площині кристала  $XZ$  не змінює симетрії параметрів, які зміщуються лише по температурній осі. Дія напруги  $\sigma_6$  в площині  $XY$  кристала приводить до того, що  $\eta_1 = \eta_2$  і  $\eta_3 = \eta_4$  і вони не рівні між собою. Крім того, параметри порядку розмиваються, що свідчить про зникнення фазового переходу із сегнето – в параелектричну фазу. У випадку прикладання зсувної напруги  $\sigma_6$  при відсутності електричного поля (криві  $b_0^2$  на всіх рисунках) симетрія кристала понижується, а дві підґратки (ланцюжок А і ланцюжок В) стають не-

еквівалентними (див. [7]). Як наслідок, в ланцюжку А взаємодії між псевдоспінами посилюються, а в ланцюжку В – послаблюються. Посилення взаємодій в одній з підґраток при певній величині напруги  $\sigma_6$  ініціює фазовий перехід в сегнетофазу та підвищує температуру  $T_c$ . На рисунках, які наведені нижче, номер ліній відповідає прикладеній механічній нарузі:  $5 - \sigma_5$ ,  $6 - \sigma_6$ . Верхній індекс вказує значення напруги (кбар), а нижній – величину напруженості поля (МВ/м).

Температурні залежності поляризацій  $P_2$  кристала GPI при різних значеннях напруг  $\sigma_5$ ,  $\sigma_6$  і електричного поля  $E_1$  наведені на рис. 2.

Сумісна дія  $\{\sigma_5, E_1\}$  приводить лише до зміщення кривої  $P_2(T)$  по температурній осі. Крива поляризації при напруженості поля 4 МВ/м і нульовій нарузі  $\sigma_5$  ( $5_4^0$ ) є крайньою з боку низьких температур, а крива  $5_0^2$  – з сторони високих. Збільшення величини напруженості поля  $E_1$  зміщує криві  $P_2(T)$  вліво від кривої  $5_0^0$ , а ріст напруги  $\sigma_5$  – вправо.

При прикладанні  $\{\sigma_6, E_1\}$  фазовий перехід розмивається (рис. 2). Криві поляризації  $P_2(T)$ , коли діють або лише поле ( $5_4^0$ ), або прикладена лише напруга ( $5_0^2$ ), при температурі ФП зануляються, а спільна дія поля і напруги приводить до зникнення температури ФП і його розмивання.

При прикладанні до кристала  $\{\sigma_6, E_1\}$  індуються поляризації  $P_1$  і  $P_3$  (рис. 3), які при наявності лише напруги  $\sigma_6$  зануляються при температурі ФП, а при дії лише поля  $E_1$ , чи спільній дії напруги і поля є розмитими.

При дії  $\{\sigma_6, E_1\}$  криві  $P_1(T)$  є додатними і зростають з ростом температури, досягаючи максимуму, а потім зменшуються. Поляризації  $P_3$  при прикладанні  $\{\sigma_6, E_1\}$  є від'ємними, спочатку зменшуються до мінімуму і при дальшому рості температури зростають. Збільшення і поля і напруги приводять до росту абсолютних значень поляризації. Індуквана поляризація  $P_3$  при тих самих величинах  $\sigma_6$  і  $E_3$  є набагато більшою, ніж  $P_1$ .

Виникнення індукованих поляризацій пов'язано з тим, що дві підґратки під дією напруги  $\sigma_6$  стають нееквівалентні. А тому дипольні моменти двох підґраток в площинах, відповідно,  $XZ$  і  $XY$  не компенсуються.

На рис. 4 зображені температурні залежності обернених діелектричних проникностей  $\varepsilon_{22}^{-1}$  кристала GPI при  $\{\sigma_5, E_1\}$ . Сумісна дія  $\{\sigma_5, E_1\}$  при-

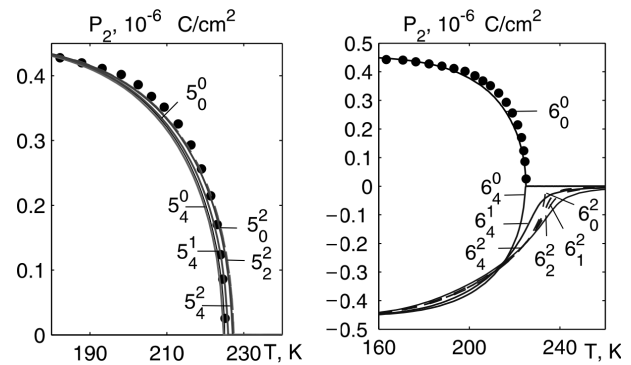


Рис. 2. Температурні залежності поляризації  $P_2$  кристала GPI при різних напругах  $\sigma_j$  і електричних полях  $E_1$

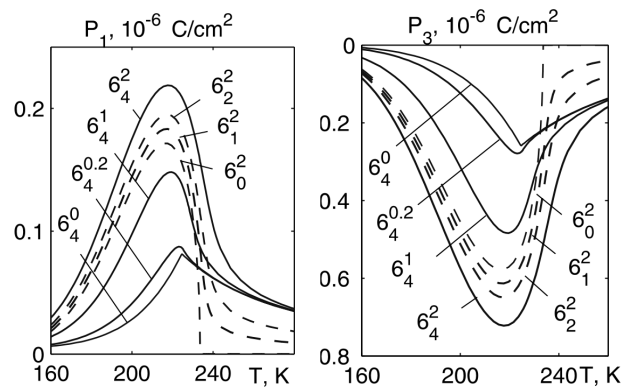


Рис. 3. Температурні залежності поляризацій  $P_1$  і  $P_3$  кристала GPI при різних напругах  $\sigma_6$  і електричному полю  $E_1$

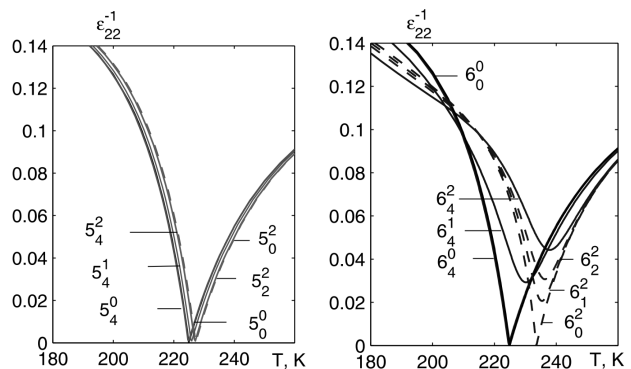


Рис. 4. Температурні залежності обернених діелектричних проникностей  $\varepsilon_{22}^{-1}$  кристала GPI при різних напругах  $\sigma_j$  і електричному полю  $E_1$

водить лише до зміщення кривих  $\varepsilon_{22}^{-1}$  по температурній шкалі. Збільшення величини напруженості поля  $E_1$  зміщує криві  $\varepsilon_{22}^{-1}$  вліво від кривої  $5_0^0$ , а ріст напруги  $\sigma_5$  – вправо. При відсутності поля та напруг поздовжна проникність розбігається в то-

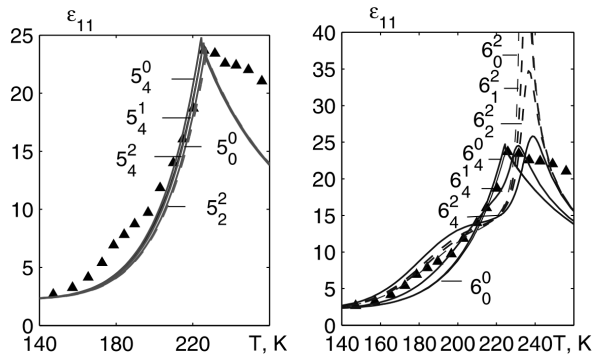


Рис. 5. Температурні залежності діелектричних проникностей  $\epsilon_{11}$  кристала GPI при різних напругах  $\sigma_j$  і електричних полях  $E_1$

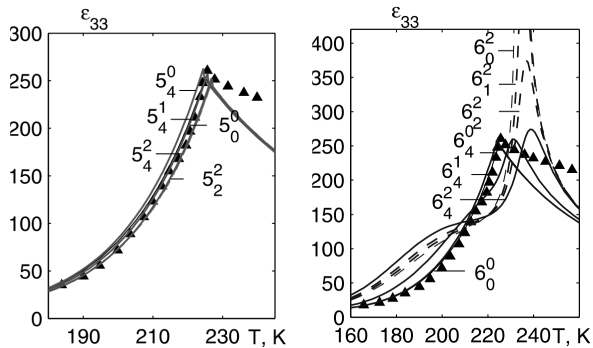


Рис. 6. Температурні залежності діелектричних проникностей  $\epsilon_{33}$  кристала GPI при різних напругах  $\sigma_j$  і електричному полю  $E_1$

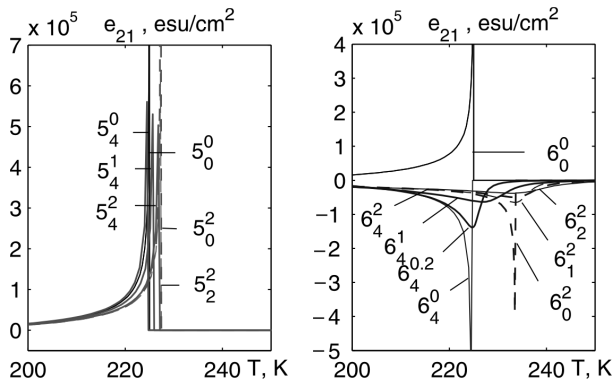


Рис. 7. Температурні залежності коефіцієнта п'єзоелектричної напруги  $e_{21}$  кристала GPI при різних напругах  $\sigma_j$  і електричному полю  $E_1$

чці  $T_c$ , а при їх прикладанні максимуми  $\epsilon_{22}$  стають скінченими.

Якщо до кристала прикладено дію  $\{\sigma_6, E_1\}$  (рис. 4), то криві обернених проникностей  $6_0^0, 6_2^0,$

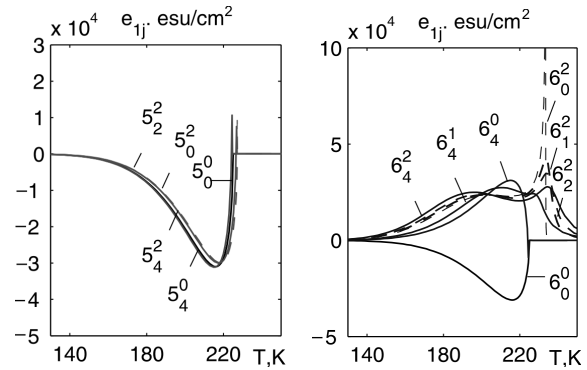


Рис. 8. Температурні залежності коефіцієнта п'єзоелектричної напруги  $e_{1j}$  кристала GPI при різних напругах  $\sigma_j$  і електричному полю  $E_1$

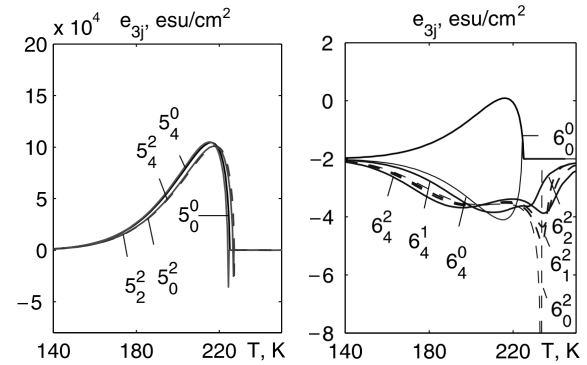


Рис. 9. Температурні залежності коефіцієнта п'єзоелектричної напруги  $e_{3j}$  кристала GPI при різних напругах  $\sigma_j$  і електричному полю  $E_1$

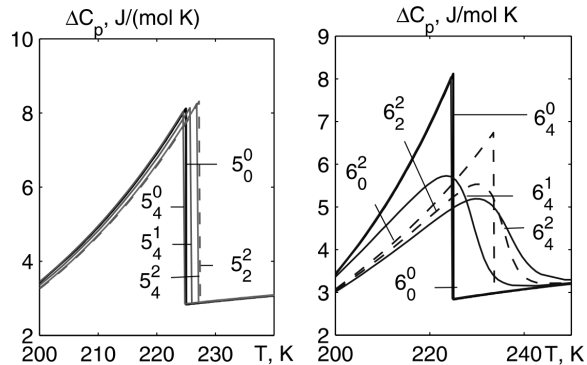


Рис. 10. Температурні залежності  $\Delta C_p$  кристала GPI при різних напругах  $\sigma_j$  і електричних полях  $E_1$

$6_0^4$  зануляються при  $T = T_c$ , а при спільній дії напруги  $\sigma_6$  і поля  $E_1$  індукуються проникності  $\epsilon_{22}$ , причому при рості напруги при сталому полі та при збільшенні поля при сталій нарузі проникності  $\epsilon_{22}$  зменшуються.



При прикладанні до кристала  $\{\sigma_5, E_1\}$  при температурах ФП виникає стрибок проникностей  $\varepsilon_{11}$ ,  $\varepsilon_{33}$ , який при збільшенні напруги  $\sigma_5$  зміщується в область більших температур і зменшується за величиною (рис. 5, 6). В [6] встановлено, що це пониження  $T_c$  і збільшення  $\varepsilon_{33}$  в сегнетофазі пов'язано з частковим розупорядкуванням протонів у ланцюжку типу "В" на рис. 1 під дією поля  $E_1$ .

Якщо прикладено лише поле  $E_1$ , то виникає стрибок проникностей  $\varepsilon_{11}$ ,  $\varepsilon_{33}$ , максимумами яких з ростом напруги  $\sigma_6$  заокруглюється і знижується (рис. 5, 6). При напругах більше 1 кбар криві  $\varepsilon_{11}$ ,  $\varepsilon_{33}$  розмиваються і виникають два максимуми в температурному ході. Якщо прикладено до кристала лише напругу  $\sigma_6$ , то криві проникностей  $\varepsilon_{11}$ ,  $\varepsilon_{33}$  поводять себе, як поздовжня проникність. Спільна дія  $\{\sigma_6, E_1\}$  веде до того, що проникності  $\varepsilon_{11}$ ,  $\varepsilon_{33}$  стають скінченими і її величина зменшується з ростом поля.

Температурні залежності коефіцієнтів п'єзоелектричної напруги  $e_{21}$  кристала GPI при дії  $\{\sigma_5, E_1\}$  наведені на рис. 7. При прикладанні до кристала лише поля  $E_1$  крива  $e_{21}$  зміщується в область менших температур і стає скінченою. При сумісній дії  $\{\sigma_5, E_1\}$  і рості напруги  $\sigma_5$  криві  $e_{21}$  зміщуються в сторону вищих температур і від'ємні максимуми  $e_{21}$  дещо зменшуються.

Подібними є температурні поведінки при дії  $\{\sigma_5, E_1\}$  п'єзомодулів  $e_{1j}$  (рис. 8);  $e_{3j}$  (рис. 9).

При температурах, близьких до температури ФП, сумісна дія напруги  $\sigma_5$  і поля  $E_1$  приводить до різкого зростання від'ємних значень  $e_{1j}$  і додатних значень  $e_{3j}$ . При сумісній дії напруги  $\sigma_6$  і поля  $E_1$  криві п'єзомодулів  $e_{1j}$  та  $e_{3j}$  розмиваються і індукуються їх значення в парафазі. Ще одна особливість – зміна знака поперечних п'єзоелектричних коефіцієнтів  $e_{1j}$ ,  $e_{3j}$  поблизу  $T_c$  пов'язана з майже повним розупорядкуванням протонів у ланцюжку типу "В" поблизу  $T_c$ . Як видно з рис. 8 і рис. 9 (криві  $6_0^2$ ), температурні залежності  $e_{1j}(T)$ ,  $e_{3j}(T)$  розбігаються в точці  $T_c$ . Це пов'язано з тим, що при ненульовій напрузі  $\sigma_6$  маленькі зміни деформацій  $d\varepsilon_4$ ,  $d\varepsilon_6$  супроводжуються зміною температури  $dT_c$  і зсувом кривих  $P_1(T)$  і  $P_3(T)$  до вищих температур. А оскільки поблизу температури фазового переходу  $dP_i/dT \rightarrow \infty$ , то  $dP_i/d\varepsilon_4 \rightarrow \infty$ ,  $dP_i/d\varepsilon_6 \rightarrow \infty$ .

Температурні залежності  $\Delta C_p$  кристала GPI при  $\{\sigma_5, E_1\}$  зображені на рис. 10. При прикладан-

ні до кристала  $\{\sigma_5, E_1\}$  криві  $\Delta C_p$  зміщуються в область менших температур і зменшується їх максимум. Зменшення поля  $E_1$  приводить до зростання максимуму  $\Delta C_p$ .

Якщо діє  $\{\sigma_6, E_3\}$ , то скачок  $\Delta C_p$  розмивається при рості напруги  $\sigma_6$  (рис. 10).

## 5. Висновки

В даній роботі в рамках модифікованої моделі протонного впорядкування квазіодновимірних сегнетоелектриків з водневими зв'язками типу GPI з врахуванням в сегнетоелектричній фазі п'єзоелектричного зв'язку з деформаціями  $\varepsilon_j$  в наближенні двочастинкового кластера вивчено вплив спільної дії напруг  $\sigma_5$ ,  $\sigma_6$  і електричного поля  $E_1$  на фазовий перехід та фізичні характеристики квазіодновимірного сегнетоелектрика GPI.

Встановлено, що при прикладанні зсувної напруги  $\sigma_5$  суттєво зростає деформація  $\varepsilon_5$  і незначно  $\varepsilon_3$ , а напруга  $\sigma_6$  збільшує лише деформацію  $\varepsilon_6$ . Виявлено, що зміна термодинамічних характеристик кристала внаслідок дії напруг  $\sigma_5$ ,  $\sigma_6$  і поля  $E_1$  зумовлена зміною температурної поведінки параметрів порядку.

В результаті числових розрахунків встановлено, як при сумісній дії зсувних напруг  $\sigma_j$  і електричного поля  $E_1$  зміна температурних залежностей термодинамічних характеристик залежить від знаків напруг  $\sigma_j$  та поля  $E_1$ .

Термодинамічні характеристики при прикладанні до кристала напруги  $\sigma_5$  та поля  $E_1$  зміщуються вздовж температурної осі в сторону менших температур.

Спільна дія напруги  $\sigma_6$  і поля  $E_1$  зумовлюють ряд цікавих ефектів, зокрема розмивання поляризації  $P_2$  і зникнення фазового переходу, виникнення поперечних поляризацій  $P_1$  і  $P_3$  в сегнето – і парафазах, діелектричної проникності  $\varepsilon_{22}$  і коефіцієнта п'єзоелектричної напруги  $e_{21}$ , розмивання сталої п'єзоелектричної напруги  $h_{21}$ .

Для проведення числових розрахунків термодинамічних характеристик з врахуванням зсувних напруг і поля  $E_1$  не використовуються додаткові параметри порівняно з рахунками без зовнішніх впливів. Тому отримані в даній роботі температурні залежності термодинамічних характеристик кристала GPI мають характер передбачень.

1. S. Dacko, Z. Czapla, J. Baran, M. Drozd. Ferroelectricity in Gly-H<sub>3</sub>PO<sub>3</sub> crystal. *Phys. Lett. A* **223**, 217 (1996).
2. I. Stasyuk, Z. Czapla, S. Dacko, O. Velychko. Proton ordering model of phase transitions in hydrogen bonded ferroelectric type systems: the GPI crystal. *Condens. Matter Phys.* **6**, 483 (2003).
3. I. Stasyuk, Z. Czapla, S. Dacko, O. Velychko. Dielectric anomalies and phase transition in glycinium phosphite crystal under the influence of a transverse electric field. *J. Phys.: Condens. Matter* **16**, 1963 (2004).
4. I. Stasyuk, O. Velychko. Theory of electric field influence on phase transition in glycine phosphite. *Ferroelectrics* **300**, 121 (2004).
5. I.R. Zachek, Ya. Shchur, R.R. Levitskii, A.S. Vdovych. Thermodynamic properties of ferroelectric NH<sub>3</sub>CH<sub>2</sub>COOH · H<sub>2</sub>PO<sub>3</sub> crystal. *Physica B* **520**, 164 (2017).
6. I.R. Zachek, R.R. Levitskii, A.S. Vdovych, I.V. Stasyuk. Influence of electric fields on dielectric properties of GPI ferroelectric. *Condens. Matter Phys.* **20**, 23706 (2017).
7. I.R. Zachek, R.R. Levitskii, A.S. Vdovych. Deformation effects in glycinium phosphite ferroelectric. *Condens. Matter Phys.* **21**, 33702 (2018).
8. J. Nayeem, T. Kikuta, N. Nakatani, F. Matsui, S.-N. Takeda, K. Hattori, H. Daimon. Ferroelectric phase transition character of glycine phosphite. *Ferroelectrics* **332**, 13 (2006).
9. F. Shikanai, J. Hatori, M. Komukae, Z. Czapla, T. Osaka. Heat capacity and thermal expansion of NH<sub>3</sub>CH<sub>2</sub>COOH · H<sub>2</sub>PO<sub>3</sub>. *J. Phys. Soc. Jpn.* **73**, 1812 (2004).
10. M. Wiesner. Piezoelectric properties of GPI crystals. *Phys. Status Solidi B* **238**, 68 (2003).

Одержано 10.01.20

A.S. Vdovych, I.R. Zachek, R.R. Levitskii

INFLUENCE OF THE STRESSES  $\sigma_5$   
AND  $\sigma_6$  AND THE ELECTRIC FIELD  $E_1$   
ON THE THERMODYNAMIC PARAMETERS  
OF GPI FERROELECTRIC MATERIALS

Effects arising in glycine phosphite (GPI) ferroelectrics under the action of the shear stresses  $\sigma_5$  and  $\sigma_6$  and the electric field  $E_1$  have been studied in the framework of a modified model that accounts for the piezoelectric coupling between the ordered structural elements and the strains  $\varepsilon_j$ . The components of the polarization vectors and the tensor of static dielectric permittivity are calculated in the two-particle cluster approximation for mechanically clamped crystals. The corresponding piezoelectric and thermal parameters are also determined. The influence of the simultaneous action of the stress  $\sigma_5$  and the field  $E_1$ , as well as the stress  $\sigma_6$  and the field  $E_1$ , on the physical parameters of the GPI ferroelectric crystals and the phase transition in them is analyzed.

*Key words:* ferroelectrics, phase transition, dielectric permittivity, piezoelectric moduli, shear stress. *Keywords:* ferroelectrics, phase transition, dielectric permittivity, piezoelectric moduli, shear stress.